

пература впрыскиваемой жидкости;  $p_s$  — давление насыщения (коэффициент конденсации в (5) принят равным 1).

На основании (3), (5) с увеличением  $T_0$  следует при прочих равных условиях ожидать уменьшения  $\operatorname{tg} \theta$ , а в результате и степени повышения давления за скачком, что и было отмечено в опытах (см. фиг. 3).

Расчеты проводились для случая, когда  $r_0 = 2$  мм и  $T_0 = 288$  К. Их результаты представлены на фиг. 2, где построены кривые, соответствующие значениям  $p_+$  при  $r = 6,65$  мм (кривая 3) и  $r = 3$  мм (кривая 4). Заметим, что кривая 3 соответствует среднему по сечению углу  $\langle \theta \rangle$ , определенному как

$$\operatorname{tg} \langle \theta \rangle = \frac{2}{R^2 - r_0^2} \int_{r_0}^R \operatorname{tg} \theta r dr. \quad \text{Увеличение } p_+ \text{ с уменьшением}$$

расходного паросодержания на входе  $x_0$  связано как с ростом  $I_0$ , так и с уменьшением  $\rho - v_-$ .

Таким образом, конденсация пара на струе жидкости за срезом сопла может в определенных условиях существенно повлиять на процесс истечения.

Поступила 25 V 1979

#### ЛИТЕРАТУРА

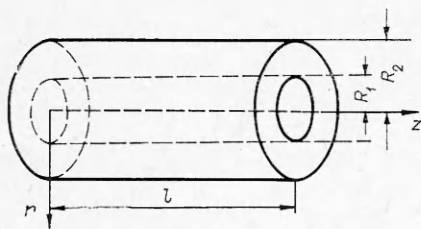
- Крантов Ф. М., Теплов С. В., Мухин В. А. Экспериментальное исследование двухфазного сопла Лаваля с центральным телом.— В сб.: Вопросы газотермодинамики и энергоустановок. Вып. 1. Харьков, изд. ХАИ, 1974.
- Беспятов М. А., Михайлов В. Я., Фролов С. Д., Худяков В. Ф. Влияние начальной сухости пара на эффективность разгона жидкости в канале заданной геометрии.— В сб.: Вопросы газотермодинамики и энергоустановок. Вып. 1. Харьков, изд. ХАИ, 1974.
- Гролмс М. А., Петрик М. Экспериментальное исследование работы конденсационного инжектора и анализ КПД при сверхзвуковой скорости пара на входе.— В кн.: Прямое преобразование тепл. энергии в электр. и топл. элементы. Вып. 7, 1969.
- Terril R. M. Flow through a porous annulus.— Appl. Sci. Res., 1967, vol. 17, p. 204.
- Ингматулин Р. И. Уравнения гидромеханики и волны уплотнения в двухскоростной и двухтемпературной среде при наличии фазовых превращений.— Изв. АН СССР. МЖГ, 1967, № 5.
- Кучеров Р. Я., Рикенглаз Л. Э. К вопросу об измерении коэффициента конденсации.— ДАН СССР, 1960, т. 133, № 5.

УДК 533.72

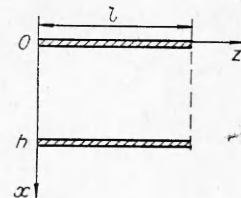
#### К ВОПРОСУ ОБ ОСОБЕННОСТЯХ ЛАМИНАРНОГО ТЕЧЕНИЯ ЛЕТУЧИХ БИНАРНЫХ ГАЗОВЫХ СМЕСЕЙ В ПЛОСКИХ И КОАКСИАЛЬНЫХ КАНАЛАХ

*M. F. Баринова, Ю. К. Островский, Е. Р. Щукин,  
Ю. И. Яламов  
(Москва)*

При прохождении ламинарного потока бинарной газовой смеси через плоский (фиг. 1) или коаксиальный (фиг. 2) каналы, в которых происходит переконденсация вещества летучего компонента бинарной газовой смеси, устанавливающиеся при этом в канале распределения массовой скорости и давления будут отличаться от распределений скорости и давле-



Фиг. 1



Фиг. 2

ния в потоке газа, не возмущенном переконденсацией вещества. Теоретическое исследование течений, осложненных переконденсацией вещества, представляет интерес в практических приложениях при расчетах теплообменников, конденсаторов и т. д. [1]. В связи с этим данная работа посвящена изучению устанавливающихся в плоском и коаксиальном каналах ламинарных изотермических течений бинарной газовой смеси с учетом переконденсации молекул одного из компонентов газовой смеси.

Аналитическое исследование течений в канале между коаксиальными цилиндрическими поверхностями и между двумя параллельными пластинами проводится аналогично, поэтому более подробно остановимся на анализе течения в коаксиальном канале.

На одной из поверхностей, образующих канал, происходит поглощение молекул вещества первого компонента газовой смеси, а на другой — выделение (например, конденсация и испарение). Будем считать, что относительные концентрации  $c_1$  первого компонента у поверхности внутреннего цилиндра  $c_{11}$  и у поверхности внешнего цилиндра  $c_{12}$  поддерживаются постоянными

$$c_1|_{\tau=R_1/R_2} = c_{11} = \text{const}, \quad c_1|_{\tau=1} = c_{12} = \text{const},$$

где  $c_1 = n_1/n$ ;  $n$  — концентрация молекул газа ( $n = n_1 + n_2$ );  $n_1$  и  $n_2$  — соответственно концентрации молекул первого и второго компонентов бинарной газовой смеси;  $R_1$  и  $R_2$  — радиусы цилиндров, образующих канал ( $R_2 > R_1$ );  $\tau = r/R_2$ ;  $r$  — поперечная координата.

Поглощение и выделение молекул второго компонента на границах канала не происходит. При установившемся течении бинарной газовой смеси в канале распределения относительной концентрации  $c_1$  и массовой скорости  $\mathbf{v}$  зависят только от  $r$  и характеризуются [2, 3] системой уравнений

$$(1) \quad \frac{d}{dr}(r\rho v_r) = 0;$$

$$(2) \quad \rho v_z \frac{dv_r}{dr} = -\frac{\partial p}{\partial r} - \frac{2}{3} \frac{d}{dr} \left[ \frac{\mu}{r} \frac{d}{dr}(rv_r) \right] + \frac{2}{r} \frac{d}{dr} \left( \mu r \frac{dv_r}{dr} \right);$$

$$(3) \quad \rho v_r \frac{dv_z}{dr} = -\frac{\partial p}{\partial z} + \frac{1}{r} \frac{d}{dr} \left( \mu r \frac{dv_z}{dr} \right);$$

$$(4) \quad \frac{d}{dr}(rJ_{1r}) = 0;$$

$$(5) \quad \frac{d}{dr}(rJ_{2r}) = 0,$$

где  $\rho = m_1 n_1 + m_2 n_2$ ;  $m_1$  и  $m_2$  — массы молекул первого и второго компонентов;  $p$  — давление;  $z$  — продольная координата;  $c_2 = n_2/n$ ;  $\mathbf{J}_1 = n_1 \mathbf{v} - D_{12}(n^2 m_2 / \rho) \nabla c_1$ ;  $\mathbf{J}_2 = n_2 \mathbf{v} - D_{12}(n^2 m_1 / \rho) \nabla c_2$ ;  $D_{12}$  — коэффициент диффузии;  $\mu$  — динамическая вязкость.

Решение системы (1)–(5) было проведено при условии, что на границах канала выполняются условия

$$(6) \quad v_z|_{\tau=R_1/R_2;1} = 0;$$

$$(7) \quad J_{2r}|_{\tau=R_1/R_2;1} = 0.$$

Найденные при этом распределения  $v_r$ ,  $v_z$ ,  $p$ ,  $c_1$  и  $\rho$  имеют следующий вид:

$$(8) \quad v_r = \frac{m_1 n D_{13}}{R_2 \rho \tau} \frac{\ln [(1 - c_{12})/(1 - c_{11})]}{\ln (R_2/R_1)};$$

$$(9) \quad v_z = \frac{\alpha R_2^2}{2} \{ \exp [f(\tau)] \} \left\{ - \int_{R_1/R_2}^{\tau} \frac{\tau}{\mu} \exp [-f(\tau)] d\tau + \right. \\ \left. + \int_{R_1/R_2}^{\tau} \frac{\exp [-f(\tau)]}{\mu \tau} d\tau \frac{\int_{R_1/R_2}^1 \frac{\tau}{\mu} \exp [-f(\tau)] d\tau}{\int_{R_1/R_2}^1 \frac{\exp [-f(\tau)]}{\mu \tau} d\tau} \right\};$$

$$(10) \quad p = p_0 - \alpha z + \frac{2\mu\eta}{R_2^2} \int_{R_1/R_2}^{\tau} \frac{1}{\tau} \frac{d}{d\tau} \left[ \mu \tau \frac{d}{d\tau} \left( \frac{1}{\rho \tau} \right) - \frac{\mu\eta}{2\rho\tau} \right] d\tau + \\ + \frac{2}{3} \frac{\mu\eta}{R_2^2} n (m_2 - m_1) c_{22} \sigma \left[ \frac{\mu}{\rho^2} \tau^{\sigma-2} - \frac{\mu_0}{\rho_0^2} \left( \frac{R_1}{R_2} \right)^{\sigma-2} \right];$$

$$(11) \quad c_1 = 1 - (1 - c_{12}) \tau^{\sigma};$$

$$(12) \quad \rho = \{m_1 [1 - (1 - c_{12}) \tau^{\sigma}] + m_2 (1 - c_{12}) \tau^{\sigma}\} n.$$

В формулах (8)–(12)  $p_0 = p|_{\tau=R_1/R_2; z=0}$ ;  $\eta = m_1 n D_{12} \sigma / \mu$ ;

$$\mu_0 = \mu|_{\tau=R_1/R_2}; \quad \rho_0 = \rho|_{\tau=R_1/R_2};$$

$$\sigma = \frac{\ln [(1 - c_{11})/(1 - c_{12})]}{\ln (R_1/R_2)}; \quad f(\tau) = \int_{R_1/R_2}^{\tau} \frac{\eta}{\tau} d\tau.$$

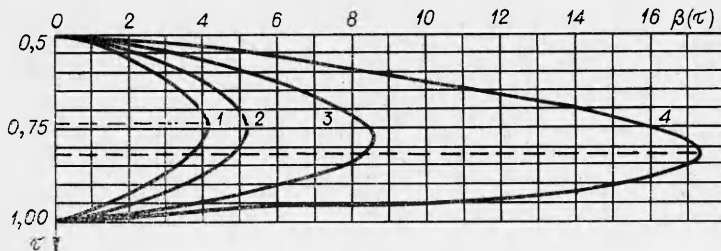
Из уравнений (1), (4) и (5) следует, что функции  $\rho v_r$ ,  $rJ_{1r}$  и  $rJ_{2r}$  — постоянные, не зависящие от  $r$  величины. Через любую цилиндрическую поверхность радиуса  $r$  ( $R_1 < r < R_2$ ) с образующими длиной  $l$  в рассматриваемом здесь стационарном случае проходят одинаковые радиальные потоки молекул как первого  $Q_1$ , так и второго  $Q_2$  компонентов газовой смеси ( $Q_1 = 2\pi r J_{1r} l$ ;  $Q_2 = 2\pi r J_{2r} l$ ), чем и объясняется независимость от  $r$  величин  $rJ_{1r}$  и  $rJ_{2r}$ .

Из условия (7) и постоянства  $rJ_{2r}$  следует, что  $J_{2r} = 0$  в любой точке канала. Из выражений для  $J_{1r}$  и  $J_{2r}$  при  $J_{2r} = 0$  получаем  $\rho v_r = m_1 J_{1r}$ .

В поперечном направлении происходит диффузия молекул первого и второго компонентов при наличии стефановского потока газовой смеси. В случае такой диффузии  $J_{2r}$  должно быть равно нулю и  $\rho v_r = m_1 J_{1r}$ , что согласуется с полученными нами результатами.

Равенство  $\rho v_r = m_1 J_{1r}$  вытекает и из формулы (8), из которой следует, что  $\rho v_r$  не зависит от продольной координаты  $r$ .

Коэффициент динамической вязкости  $\mu$  в общем случае зависит от  $c_1$ , а следовательно, и от поперечной координаты  $r$ . Если же этой зависи-



Ф и г. 3

мостью можно пренебречь, то распределения  $v_z$  и  $p$  описываются формулами

$$(13) \quad v_z = \frac{\alpha_1 R_2^2}{2\mu(2-\eta)} \left\{ 1 - \tau^2 - \frac{\left[ 1 - \left( \frac{R_1}{R_2} \right)^2 \right]}{\left[ 1 - \left( \frac{R_1}{R_2} \right)^\eta \right]} (1 - \tau^\eta) \right\} = \frac{Q}{2\pi n R_2^2} \beta(\tau);$$

$$(14) \quad p = p_0 - \alpha_1 z + \frac{2\mu^2 \eta}{R_2^2} \int_{R_1/R_2}^{\tau} \frac{1}{\tau} \frac{d}{d\tau} \left[ \tau \frac{d}{d\tau} \left( \frac{1}{\rho \tau} \right) - \frac{\eta}{2\rho \tau} \right] d\tau + \\ + \frac{2}{3} \frac{\mu^2 \eta}{R_2^2} n (m_2 - m_1) c_{22} \sigma \left[ \frac{\tau^{\sigma-2}}{\rho^2} - \frac{1}{\rho_0^2} \left( \frac{R_1}{R_2} \right)^{\sigma-2} \right],$$

где  $\alpha_1 = Q/(\pi n R_2^2 \Omega)$ ;

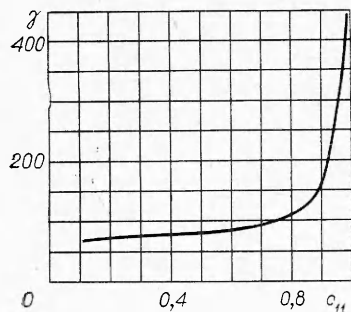
$$\Omega = \frac{R_2^2 (1 - c_{12})}{(2 - \eta)} \left\{ \frac{\left[ 1 - (R_1/R_2)^2 \right] \left[ 1 - (R_1/R_2)^{2+\eta+\sigma} \right]}{\left[ 1 - (R_1/R_2)^\eta \right] (2 + \eta + \sigma)} - \right. \\ \left. - \frac{\left[ (R_1/R_2)^2 - (R_1/R_2)^\eta \right] \left[ 1 - (R_1/R_2)^{2+\sigma} \right]}{\left[ (R_1/R_2)^\eta - 1 \right] (2 + \sigma)} - \frac{1 - (R_1/R_2)^{4+\sigma}}{4 + \sigma} \right\}.$$

Распределения  $v_z$  и  $c_1$  в канале не зависят от  $\mu$  и описываются формулами (8), (11). Формулы (13), (14) показывают, что распределения  $v_z$  и  $p$  в потоке газовой смеси при заданном расходе  $Q$  нелетучего компонента зависят от перепада концентраций летучего компонента в канале, т. е. от  $c_{11}$  и  $c_{12}$ .

Для иллюстрации зависимости  $v_z$  от  $\tau$ ,  $c_{11}$  и  $c_{12}$  на фиг. 3 построены кривые зависимости переменной  $\beta(\tau)$  от  $\tau$

$$\beta(\tau) = \frac{R_2^2}{\mu_1^2 (2 - \eta) \Omega} \left\{ 1 - \tau^2 - \frac{\left[ 1 - (R_1/R_2)^2 \right] (1 - \tau^\eta)}{\left[ 1 - (R_1/R_2)^\eta \right]} \right\}$$

для паровоздушной смеси с температурой 293 К, давлением  $p_0 = 1$  атм,  $\mu = 2 \cdot 10^{-5}$  кг/м·с;  $c_{12} = 0$  и различных значениях  $c_{11}$  (кривая 1 соответствует  $c_{11} = 0$ ; 2 —  $c_{11} = 0,5$ ; 3 —  $c_{11} = 0,9$ ; 4 —  $c_{11} = 0,995$ ). Расчеты проведены для канала с  $R_1/R_2 = 0,5$ . Как видно из фиг. 3, с увеличением  $c_{11}$  при заданном расходе  $Q$  происходит возрастание максимального значения  $v_z$  и смещение точки  $\tau_{\max}$ , в которой  $v_z$  максимальна, в сторону внешнего цилиндра. Увеличение продольной составляющей скорости с увеличением  $c_{11}$  (см. фиг. 3) обусловлено повышением суммарного расхода смеси (при сохранении расхода неконденсируемого компонента) вследствие возрастания расхода летучего компонента. Сдвиг максимума в сторону внеш-



Фиг. 4

ней поверхности обусловлен поперечным потоком испаряющегося компонента, который замедляет течение газовой смеси у внутренней поверхности канала, что и приводит к смещению точки максимума  $v_z$  в сторону внешней поверхности.

Анализ формулы (13) показал, что при  $c_{12} > c_{11}$  с увеличением  $c_{12}$  смещение точки  $\tau_{\max}$  происходит в сторону внутреннего цилиндра.

Зависимость продольного перепада давления  $p_{\Pi}$  от  $c_{11}$  и  $c_{12}$  определяется переменной  $\gamma(c_{11}, c_{12})$ :

$$p_{\Pi}(z) = \alpha_1 z = \frac{Q}{\pi n R_2^4} \gamma(c_{11}, c_{12}) z.$$

Ход кривой зависимости  $\gamma(c_{11}, c_{12})$  от  $c_{11}$  при  $c_{12} = 0$  для паровоздушной смеси с температурой 293 К, давлением  $p_0 = 1$  атм и  $\mu = 2 \cdot 10^{-5}$  кг/м·с в канале с  $R_1/R_2 = 0,5$  показан на фиг. 4, откуда следует, что с увеличением  $c_{11}$  продольный перепад давления в канале возрастает и при  $c_{11} \rightarrow 1$  стремится к бесконечности.

Проведенный анализ формул (13), (14) показал, что в пределе при  $c_{11}, c_{12} \rightarrow 0$  формулы для распределений  $v_z$  и давления  $p$  переходят к известным формулам для однокомпонентного газа

$$v_z = \frac{c_{10}}{4\mu} R_2^2 \left[ 1 - \tau^2 - \frac{1 - (R_1/R_2)^2}{\ln(R_1/R_2)} \ln \tau \right], \quad p = p_0 - \alpha_{10} z,$$

где

$$\alpha_{10} = \frac{8\mu Q \ln(R_1/R_2)}{\pi n R_2^4 [1 - (R_1/R_2)^2] \{ [1 + (R_1/R_2)^2] \ln(R_1/R_2) + [1 - (R_1/R_2)^2] \}}.$$

Исследование изотермического установившегося ламинарного течения бинарной газовой смеси в плоском канале проводится аналогично рассмотренному выше случаю коаксиального канала. Течение в плоском канале описывается системой уравнений

$$(15) \quad \frac{d}{dx} \rho v_z = 0;$$

$$(16) \quad \rho v_x \frac{dv_x}{dx} = - \frac{\partial p}{\partial x} + \frac{4}{3} \frac{d}{dx} \left( \mu \frac{dv_x}{dx} \right);$$

$$(17) \quad \rho v_z \frac{dv_z}{dx} = - \frac{\partial p}{\partial z} + \frac{d}{dx} \left( \mu \frac{dv_z}{dx} \right);$$

$$(18) \quad \frac{d}{dx} J_{1x} = 0;$$

$$(19) \quad \frac{d}{dx} J_{2x} = 0.$$

Решение системы (15), (16) было проведено при граничных условиях

$$(20) \quad v_z|_{t=0;1} = 0;$$

$$(21) \quad J_{2x}|_{t=0;1} = 0;$$

$$(22) \quad c_1|_{t=0} = c_{10} = \text{const};$$

$$(23) \quad c_1|_{t=1} = c_{1h} = \text{const},$$

где  $t = x/h$ ;  $x$  — поперечная координата;  $h$  — расстояние между пластинами, образующими канал.

Найденные при этом распределения  $v_x$ ,  $v_z$ ,  $p$ ,  $c_1$  и  $\rho$  имеют наиболее простой вид при  $\mu = \text{const}$ , когда они описываются следующими формулами:

$$(24) \quad v_x = \omega \mu / (\rho h);$$

$$(25) \quad v_z = \frac{\alpha_2 h^2}{\mu \omega} \left[ t - \frac{1 - \exp(-\omega t)}{1 - \exp \omega} \right];$$

$$(26) \quad p = p_0 - \alpha_2 z - \frac{\mu^2 \omega^2}{\rho h^2} \left\{ 1 - \frac{\rho}{\rho_h} + \frac{4}{3} \frac{\mu}{D_{12}} \frac{(m_2 - m_1)}{m_1 \rho} \times \right. \\ \left. \times [(1 - c_{10}) \exp(st) - \rho^2 (1 - c_{1h})/\rho_h^2] \right\};$$

$$(27) \quad c_1 = 1 - (1 - c_{10}) \exp(st);$$

$$(28) \quad \rho = \{m_1 [1 - (1 - c_{10}) \exp(st)] + m_2 (1 - c_{10}) \exp(st)\} n.$$

В формулах (24)–(28)

$$\omega = \frac{nm_1 D_{12}}{\mu} \ln [(1 - c_{1h})/(1 - c_{10})]; \quad s = \ln [(1 - c_{1h})/(1 - c_{10})];$$

$$\rho_h = \rho|_{t=1}; \quad p_0 = p|_{t=1, z=0}; \quad \alpha_2 = \frac{Q m_1 D_{12}}{b h^3 \psi};$$

$$\psi = \frac{(1 - c_{10})}{s^2} \left\{ \frac{1}{s} + \frac{1 - c_{1h}}{1 - c_{10}} \left( 1 - \frac{1}{s} \right) - \frac{(c_{10} - c_{1h})}{(1 - c_{10})} \frac{\omega/s}{1 - \left( \frac{1 - c_{1h}}{1 - c_{10}} \right)^{\omega/s}} + \right. \\ \left. + \frac{\left( \frac{1 - c_{1h}}{1 - c_{10}} \right)^{1+\omega/s} - 1}{(1 + \omega/s) \left[ 1 - \left( \frac{1 - c_{1h}}{1 - c_{10}} \right)^{\omega/s} \right]} \right\}$$

( $b$  — ширина пластин, образующих канал).

Из уравнений (15), (18) и (19) видно, что  $\rho v_x$ ,  $J_{1x}$  и  $J_{2x}$  — постоянные, не зависящие от  $x$  величины. Независимость от  $x$  величин  $J_{1x}$  и  $J_{2x}$  объясняется тем, что в рассматриваемом случае стационарного движения через любую плоскую поверхность длины  $l$ , параллельную образующим каналов, проходят одинаковые потоки молекул первого  $Q_1$  и второго  $Q_2$  компонентов смеси ( $Q_1 = bl J_{1x}$ ;  $Q_2 = bl J_{2x}$ ). Из условия (21) и постоянства  $J_{2x}$  следует, что  $J_{2x} = 0$  в любой точке канала. Из выражений для  $J_{1x}$  и  $J_{2x}$  при  $J_{2x} = 0$  получим  $\rho v_x = m_1 J_{1x}$ . В поперечном направлении происходит диффузия молекул первого и второго компонентов при наличии стефановского потока газовой смеси. В случае такой диффузии  $J_{2x}$  должно быть равно нулю и  $\rho v_x = m_1 J_{1x}$ , что согласуется с полученными результатами.

Равенство  $\rho v_x = m_1 J_{1x}$  вытекает и из формулы (24), из которой следует, что  $\rho v_x$  не зависит от продольной координаты.

Как показал анализ формулы (25), с увеличением  $c_{10}$  ( $c_{10} > c_{1h}$ ) или с увеличением  $c_{1h}$  ( $c_{1h} > c_{10}$ ) при заданном расходе  $Q$ , как и в случае коаксиального канала, происходит возрастание максимального значения  $v_z$  вследствие возрастания суммарного расхода газовой смеси и смещение точки  $t_{\max}$  (в которой  $v_z$  максимальна) в сторону поверхности с меньшим значением  $c_1$  вследствие замедления течения газовой смеси у поверхности испарения.

Анализ (26) показал, что с увеличением  $c_{10}(c_{10} > c_{1h})$  или  $c_{1h}(c_{1h} > c_{10})$  продольный перепад давления при заданном  $Q$  возрастает.

Проведенный анализ формул (25), (26) показал, что в пределе при  $c_{10}, c_{1h} \rightarrow 0$  формулы для распределений  $v_z$  и  $p$  переходят к известным формулам для однокомпонентного газа

$$v_z = \frac{\alpha_{10}}{2\mu} h^2 t (1 - t), \quad p = p_0 - \alpha_{20} z,$$

где  $\alpha_{20} = 12\mu Q/(bh^3 n)$ .

Таким образом, явление переконденсации молекул одного из компонентов бинарной газовой смеси существенно влияет на распределения продольного перепада давления и продольной составляющей массовой скорости течения в канале. Полученные в данной работе формулы можно использовать и для описания течения бинарных газовых смесей в разнотемпературных каналах с малыми перепадами температуры [1], когда коэффициенты переноса (динамической вязкости, диффузии, теплопроводности) можно считать не зависящими от температуры величинами.

Поступила 26 VI 1979

#### ЛИТЕРАТУРА

1. Meisen A., Bobkowicz A. J., Cooke N. E., Farca E. J. The separation of micron-size particles from air by diffusiophoresis.— Can. Journ. Chem. Eng., 1971, vol. 49, p. 449.
2. Лойцянский Л. Г. Механика жидкости и газа. 3-е изд. М., Наука, 1970.
3. Гиршфельдер Дж., Кертис Ч., Берд Р. Молекулярная теория газов и жидкостей. М., Физматгиз, 1961.

УДК 532.526.2:533.69.011.5

#### РАСЧЕТ ВЗАИМОДЕЙСТВИЯ ЛАМИНАРНОГО ПОГРАНИЧНОГО СЛОЯ С ВНЕШНИМ СВЕРХЗВУКОВЫМ ПОТОКОМ ЗА УСТУПОМ

*A. Н. Антонов*

(Москва)

Можно указать ряд работ, посвященных исследованию течений в зонах отрыва и присоединения ламинарного пограничного слоя [1—12]. Остановливаясь на расчетных методах, следует отметить, что впервые метод взаимодействия пограничного слоя с внешним идеальным потоком для определения течений в донной области был предложен в работе [1]. Однако недостаточные данные по характеристикам несжимаемого ламинарного пограничного слоя не дали возможности получить удовлетворительные результаты по донному давлению. В работах [4, 5] предложенная методика модифицируется и применяется в области взаимодействия скачка уплотнения с пограничным слоем [4], а также в области отрыва ламинарного пограничного слоя на цилиндрическом теле, обтекаемом потоком в попечном направлении [5].

В данной работе расчет течений за плоскими и осесимметричными уступами проводится на основе схемы взаимодействия пограничного слоя с внешним идеальным потоком.

1. Рассмотрим следующую приближенную схему течения в донной области за уступом, обтекаемым равномерным сверхзвуковым потоком, которая представляет собой схему типичного взаимодействия пограничного слоя с внешним идеальным потоком (фиг. 1). Между сечениями 1 и 2 происходит расширение потока,  $AB$  — линия постоянного расхода,  $B$  — критическая точка. Штриховой линией обозначена граница погра-